

国鉄・技研 正員 垣水尚志  
国鉄・技研 田中政典

## 1.はじめに

盛土高が低くと列車荷重の分散効果が小さく、また、压密の進行に伴う荷重増加も小たりため、列車通過時に下部の軟弱地盤の変形が観測できなくなり、この結果、異常動搖が発生し徐行を余儀なくされる場合がある。このよる合意の盤土下の軟弱地盤を改良する場合につき、通常、新しく盤土を構築する場合の対策工の施工工法とし複数条件分離してある。すなわち、工事による運転支障を極力あざえずそれほどない限り、軌道の変状を惹起しないこと、施工空間の狭隘性などである。現在、状況に合致した養生工と改良範囲・改良程度等の検討を行なうところが明確に判斷基準が得られていらないのが実情である。このたび工法の効果を検討するための資料を得るために、13年前の練習工事大蔵12施工(たば盤土下軟弱地盤改良)区间において現地調査を実施する機会を得たので、本報文ではこの調査結果の一端を紹介するものである。

## 2.対策工の種類

前述のように通常である井渠工は、新たに盤土を構築する場合に比しての種類が限られる。当該対策工区間では工法の比較のため複数の工法と実際に施工しており、今回も既存の盤土下に適用が比較的可能と思われる木杭工法、生石灰工法を対象とした。また、盤土下の砂層の効果を検討するため砂量換算部の調査を行なった。これより対策工の概要を図-1に示す。

## 3.調査方法

前述対策工区間の他に、比較のために無処理部を加え、物理試験、力学試験、ケイシテイング、加速度、変位率の測定を実施した。種々の割合上各部の同一の試験、測定ができないため、いくつから箇所で図-1に示すよう調査を実施した。

## 4.調査結果

4.1 土質特性推進：今回は3m×6mシルト層と表層にて調査を行なった。たゞ3-5mまで(図-1 対策工の概要)はシルトと砂の互層であり、以下12mまでは  $g_n=0.3 \sim 0.8$  のシルトである(練習工事時の調査結果によると)。図-3は各部の特性値を示すものである。深さ1~3mでは盤土下のシルトのほか田面部よりかずかれた大土塊で、これら盤土構築による影響が現われている。生石灰成下端付近では無処理部よりも小さく、田面部と同程度である。生石灰成の土の圧縮強度と

4.2 2通り引いたり試験の結果を比較してみると、不可能である。たゞ  $g_n$  は  $1/2$  と

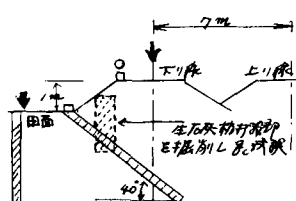


図-2 試料採取並置及ぶ測定位置

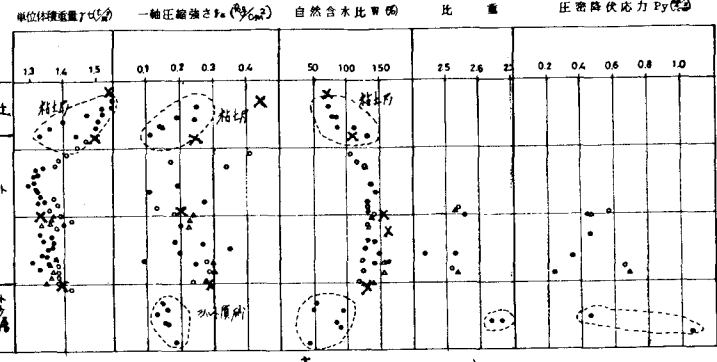


図-3 土質特性値の比較

バラツキが大きいが、盛土下の場合が路面より多少大きくなる。含水比は図示のように大きく、シルト層のほとんどが液性限界以上である。図中のX印は盛土構築時の道があるが、路面直上を車く盛土の特徴が明瞭である。図-4は  $e$ - $\log P$  曲線である。これをもとに得た地盤降伏応力を図-3に示すところが、過圧密状態下であることを示す。

**4.2 負入試験結果：**図-5は大型動的負入式試験の結果を示す。縦軸はリバーストローラー路面から負入試験を実施した。生石灰粒は施工22ヶ月と施工時大地盤表面が30cm隆起しており、この結果改良予定範囲の下部の改良効果が十分でないことがよくわかる。砂墨跡は盛土構築による沈下が大きく、図からも初期の生土が6cm程度めりこんでいると思われる。無処理盛土下では1.7cm位まで路面が侵食している。

**4.3 生石灰粒改良の周辺部の状況：**生石灰粒の効果を直接確認するため角部と斜面に杭と周辺土の状況を調査した。2の状況を図-6に示す。地盤工事より15cmと並んで上部で30~35cm、中間部で25cm程度と中が浅い12cm。地中周辺の土の固結度は1~3mm部分が多く、特に杭から5cm程度の土の固結度は悪いかた。杭上部のサンプルの強度は0.5~1.6kg/cm<sup>2</sup>、10%以下5%程度である。2本の杭のうち1本の地下水位以下の強度が著しく小さくな。

**5. 加速度・変位：**加速度計による測定結果を周波数分析したものを図-7に示す。対策工施工後では35~50Hzの範囲に卓越部が集中してある。また生石灰粒による傾向が表してある。変位カメラにより測定を行った。1.3~4.1~3mmで無処理部より鉛直変位が他に比べて多少大きめである。

## 5. おわりに

列車の走行安全性には軌道より直角、盛土、支障等の多くの因子が関係しておらず、井筒工施工方法には異常原因の解明にあたることが必要である。最後に調査に当り絶大なる御協力を頂いたJR東日本海運管理局の関係各位及び中村建設株式会社に深謝するとともに感謝の意を表すことを次第に記す。

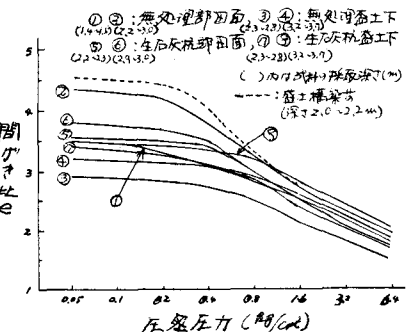


図-4  $e$ - $\log P$  曲線

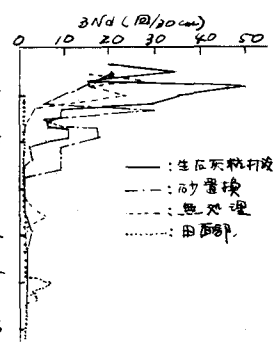


図-5 動的負入試験結果

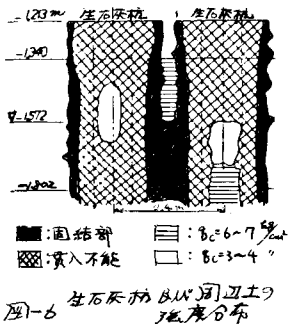


図-6 生石灰粒改良周辺の強度分布

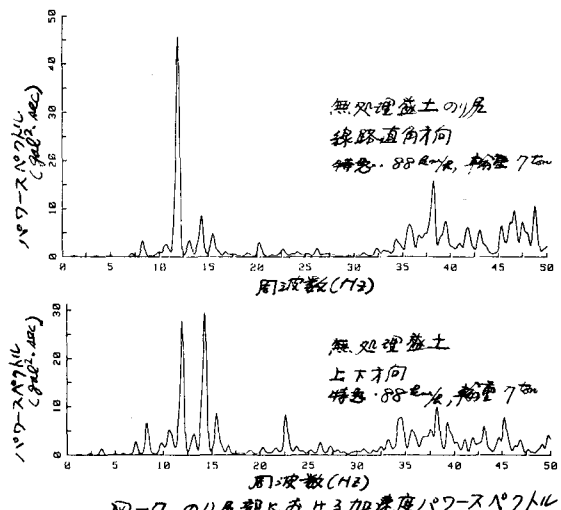


図-7 のり面部における加速度パワースペクトラル

